

Energy generation by precesion

Florentino Muñiz Ania

May 3 2015

flomunia@gmail.com

Abstract

English (translation): We study here a possible cause of the intrinsic precession of the planetary orbits in terms of the sets of stars [“Reality elements” Vixra.org: 1407.0107], compared with classic atomic model, which, together with the wave-particle duality, it leads to the conclusion that the thermodynamic energy is continuously being created and destroyed. Based on the above two machines capable of generating electric power by precession resonant circuits are exposed.

Español (original): Se estudia aquí una posible causa de la precesión intrínseca de las órbitas planetarias en función de los conjuntos de estrellas [“Reality elements” Vixra.org: 1407.0107], comparándola con la del modelo atómico clásico, que, junto con la dualidad onda-corpúsculo, da lugar a considerar que la energía termodinámica está continuamente creándose y destruyéndose. En base a todo lo anterior se exponen dos máquinas capaces de generar energía eléctrica mediante la precesión en circuitos resonantes.

1. La precesión de las órbitas

Al calcular la órbita de un planeta alrededor del Sol en modo exacto hay que tener en cuenta la precesión. Ésta es un movimiento opuesto al de la órbita, de tal manera que al contar con ella cada órbita se acorta, haciendo precesar al planeta. En la órbita de Mercurio la principal causa de precesión está dada por el resto de los planetas, principalmente Júpiter, debido a su gran masa. Pero hay una precesión intrínseca, que no se debe a la influencia de ningún astro y que tiene un valor de unos 43 segundos de arco por cada siglo. Con la aparición de la Teoría de la Relatividad General [1] (no de la Teoría Especial de la Relatividad) la precesión intrínseca queda

justificada por la curvatura del espaciotiempo. Pero si consideramos como no válida la TRG, podemos afirmar, en base a [9], que la precesión intrínseca se debe a la aplicación conjunto de estrellas de antimateria (AM), implicadas en la velocidad del planeta, sobre el conjunto de estrellas de materia (MA), esto es:

$$|v_{pre}^{-1}| = [(N^C)_{AM} : (N - N^C)_{MA}], \quad (1.1)$$

es decir, en realidad, si consideramos a $|v_{pre}^{-1}|$ como la acción de dos grupos, es igual al número de clases de equivalencia en el conjunto N_{AM}^C dividido entre los elementos de cada clase $(N - N^C)_{MA}$. O, lo que es lo mismo: la velocidad de precesión es inversamente proporcional al número de elementos que se aplican en una clase de equivalencia del conjunto N_{AM}^C y proporcional a la cardinalidad de dicho conjunto. Siendo la v negativa, al proceder de conjuntos distintos. Por lo que el movimiento será negativo, y el planeta precesará: $v_{pre} = \frac{-N_{AM}^C}{(N - N^C)_{MA}}$. Siendo $N = Card(MA) = Card(AM)$, y $N^C = \aleph v^2 9$.

Es decir, un movimiento no sólo consume energía, sino que también la libera, proporcional a la velocidad, y en el Sistema Solar a la corrección temporal en función de los parámetros \diamond :

$$T_{pre} = \left(\frac{v_{pre\aleph}}{v_{pre}} \right)^{5/2} T_{pre\aleph}, \quad (1.2)$$

con

$$T_{pre\aleph} = \frac{2\pi a_{\aleph}}{v_{pre\aleph} \aleph \diamond \odot \delta}, \quad (1.3)$$

y

$$v_{pre\aleph} = - \frac{N_{\aleph}^C}{(N - N_{\aleph}^C)}. \quad (1.4)$$

Y el movimiento engendrado será opuesto al del conjunto AM .

2. En el átomo clásico

Si consideramos el modelo atómico clásico como otro potencial central, al igual que el Sistema Solar, el electrón, orbitando alrededor del núcleo, precesará con ecuaciones similares a las de (1.2), (1.3) y (1.4):

$$T_{preá} = \frac{2\pi a_0}{v_{preá} \mathfrak{I} \sqrt{\diamondá^{-1}}} \quad (2.1)$$

$$a_0 = \frac{\tilde{N} m_p}{\mathfrak{I}^2} \quad (2.2)$$

$$\diamondá = \frac{a_0}{a_0} = \frac{m_e}{m_p} \quad (2.3)$$

$$v_{preá} = -\frac{N_{\dot{a}}^C}{N - N_{\dot{a}}^C} \quad (2.4)$$

$$N_{\dot{a}}^C = \mathfrak{I} v_e^2 9. \quad (2.5)$$

Pero, en virtud de la dualidad onda corpúsculo, podemos considerar el electrón como una onda, y la energía de precesión será radiada, con una potencia, para el átomo clásico de hidrógeno, de

$$P_{\dot{a}} = \frac{E_{\dot{a}}}{T_{preá}} \approx 1,527 \cdot 10^{-6} W. \quad (2.6)$$

Potencia mucho mayor que la radiación de Larmor, una de las causas que los textos sobre Mecánica Cuántica [3] [2] aluden como causa del abandono del modelo clásico atómico. Coincidiendo además el período de precesión con la Transformación de Lorentz:

$$T_{preá} = \frac{T_u}{T_u - T'} \cdot \frac{T_u}{2}; \quad (2.7)$$

$$T' = \frac{T_u \frac{2\pi a_0 v_e}{c^2}}{\sqrt{1 - \frac{v_e^2}{c^2}}}. \quad (2.8)$$

3. Precesión en Termodinámica

Otra forma de ver el planteamiento es mediante la Termodinámica. Si se trata a las partículas de los gases ideales de la Termodinámica como ondas, en virtud de la dualidad onda-corpúsculo, se tiene que en sus encuentros irán mermando su energía, a no ser que estén en frecuencia y fase. Esto equivaldría a decir que en el modelo clásico termodinámico los choques de los átomos son inelásticos. Siendo la potencia debida a la precesión la que aporta la energía perdida. Ya

que la energía del gas no decae, por lo que debe haber “algo” que la repone al instante, y ese “algo” es el aporte de energía de todo el Universo, modulado por la precesión del electrón en su órbita (explicado en términos clásicos) y que, como no precesa, radia energía.

Por tanto, y en base a lo anterior, tenemos que el átomo radia, la energía la repone el Universo y la radiación se convierte en agitación térmica. Así, si tomamos un mol de de hidrógeno a una temperatura T , su energía será: $E_{mol} = RT$, en donde R es la constante molar de los gases. Si se calcula la frecuencia central de la radiación ν_c mediante el desplazamiento de Wien [3], denotado como d_W : $\nu_c = \frac{c}{d_W}$. Multiplicando las dos ecuaciones anteriores obtendremos lo que se podría denominar como “la potencia que se mueve en un mol de hidrógeno” (P_{mol}):

$$P_{mol} = RT \frac{c}{d_W} T. \quad (3.1)$$

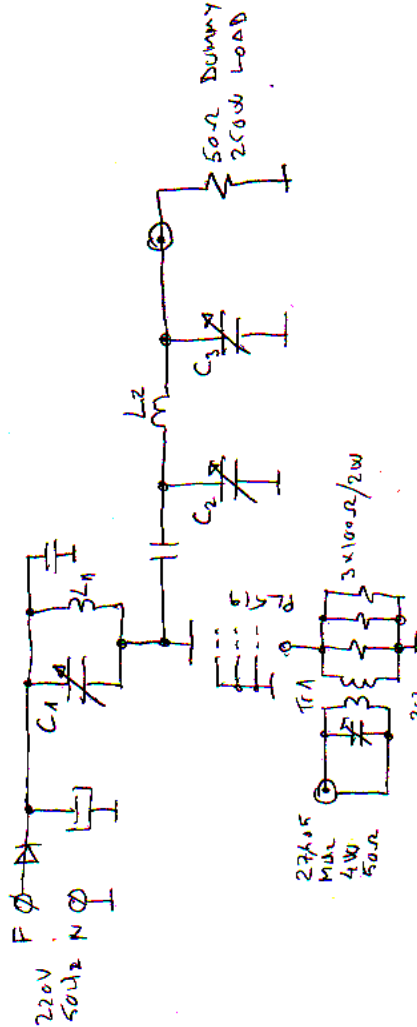
Esta potencia sería en bruto, sin tener en cuenta los “choques”. Si por otra parte, se calcula la potencia de un mol de hidrógeno en Watios, multiplicando la potencia radiada por un átomo de Hidrógeno ($P_{\dot{a}}$), obtenida en la Sección 2, ecuación (2.6), por el número de Avogadro (N_A) y, dividiendo este valor entre: $\sqrt{e^{h\nu_c/kT} - 1}$, que da cuenta de la disminución de potencia a frecuencias altas, y en donde h es la constante de Planck, ν_c la frecuencia central mencionada con anterioridad, k la constante de Boltzman, y e el Número de Néper, se obtiene:

$$P_{mol} = \frac{P_{\dot{a}} N_A}{\sqrt{e^{h\nu_c/kT} - 1}} \cdot \left(\frac{T}{300 K} \right)^2, \quad (3.2)$$

y obtenemos el mismo valor que en la ecuación (3.1) mediante la Termodinámica.

4. La máquina de Braulio

1



Como hemos visto en Secciones precedentes, las partículas tienen la facultad de presentarse tanto como ondas como corpúsculos. Esto está recogido por la Física actual. Lo que puede que no lo esté es que una partícula pueda comportarse simultáneamente co-

¹La denominamos así en honor a su inventor, Braulio († 1996), al que tuve el honor de conocer a finales de los 80, en la Banda Ciudadana de Oviedo (operador: Braulio; estación: Fantasía). Tras conocerle, y antes de darme el esquema, me reveló que sabía cómo generar energía, pero que no lo podía patentar por desconocer de dónde surgía.

Espero que éste artículo aclare tal aspecto.

mo onda y como corpúsculo, pero que es lo que parece suceder en el experimento conocido como “el experimento de Young sobre la doble rendija” [13][4]. Pero si esto pudiera ser, estaría justificado el funcionamiento de la máquina aquí descrita, y que la experiencia muestra que funciona.

La máquina de Braulio es un amplificador de RF formado por un tubo PL519 en configuración de rejilla a masa, con el circuito de placa alimentado al pico de la red eléctrica a través de un circuito tanque resonante a la frecuencia de funcionamiento, y con un amperímetro de continua intercalado para medir el consumo. La placa es conectada a la carga a través de un acoplador en pi, que mediante los condensadores C2 y C3, más la bobina L2, ponen en fase a la placa con la carga artificial. La excitación del cátodo proviene de un transmisor de 4 W/50Ω, conectado a un transformador elevador (2:3) Tr1 sintonizando el condensador ajustable, y cuyo secundario, aparte de estar conectado al cátodo, está unido a 3 resistencias de carbón de 100Ω cada una. Determinando la corriente de cátodo. Una vez en funcionamiento, y tras sintonizar C1, el consumo cae prácticamente a cero, mientras la potencia en la carga se mantiene en unos 100 Watos.

Si ahora consideramos el tiempo que el electrón, considerado como onda viajando a c en su sistema de referencia, tarda en recorrer la distancia d :

$$T' = T - \frac{d}{c};$$

ya que el medio es el vacío; y si consideramos la transformación de Lorentz mediante conjuntos, al igual que se hizo en [9]:

$$\frac{v^2}{c^2} = \frac{N^c}{N - N^c};$$

$$v = c \Rightarrow N^c = N \Rightarrow \frac{N^c}{N - N^c} = \frac{N}{\emptyset};$$

y como $[N : \emptyset] = 0$, ya que sobre un conjunto vacío no puede haber ninguna aplicación, con lo que

$$\frac{N^c}{N - N^c} = 0 \Rightarrow \gamma_c = \sqrt{1 - \frac{N^c}{N - N^c}} = 1,$$

y

$$T' = \frac{T - \frac{d}{c}}{\gamma_c} = T - \frac{d}{c}.$$

Y la velocidad de precesión será:

$$v_{pre} = \frac{d}{\frac{T^2}{(T-T')} \cdot \frac{1}{2}}.$$

Siendo d la distancia entre cátodo y placa, que para el PL519 es $d \approx 0,02 m$. Por lo que la energía que un electron irá liberando en su trayectoria entre el cátodo y la placa será: $E_{220} = m_e v_{pre}^2 = m_e \left(\frac{d}{T_{pre}}\right)^2$. Y si multiplicamos por el número de ciclos en un segundo (la frecuencia de trabajo), y por el número de electrones, en función de la corriente de cátodo y de la carga elemental, obtendremos la potencia liberada en la precesión:

$$P_{pre} = m_e \left(\frac{d}{T_{pre}}\right)^2 \nu \frac{I_k}{e^-}.$$

Considerando al electrón como corpúsculo, éste será atraído hacia la placa en los semiciclos positivos, y en la frecuencia de trabajo ($\nu = 27,405 MHz$) la velocidad de precesión es resonante a la longitud recorrida d :

$$\lambda = \frac{c}{\nu};$$

$$T_{pre} = T' \frac{\lambda}{d}.$$

Así, el tubo será resonante en longitud, la onda tarda en recorrer λ , T_{pre} segundos, siendo además resonante en frecuencia gracias al tanque L1C1, que lo aislará de la alimentación a la frecuencia de trabajo ν , y la potencia generada por precesión será drenada por la carga.

5. Generación de energía por precesión en dieléctrico largo

Esta forma de generar energía es similar a la anterior, basándose también en la dualidad onda-corpúsculo y en la precesión de las órbitas mostrada en la Sección 1, que aquí serán ciclos.

Si equiparamos el ciclo de un circuito tanque a una órbita gravitatoria, tendremos que el período del tanque también precesa. Si visualizamos el trasvase de energía entre la bobina y el condensador como un ciclo en sentido antihorario, la precesión se producirá en sentido horario (siempre que el dieléctrico sea lo suficientemente largo, como veremos

más adelante), acortando el ciclo y generando energía. Esto es proporcional a la longitud del dieléctrico del condensador y en función de la transformación de Lorentz.

La energía básica que se intercambia entre la bobina y el condensador es: $E = \frac{V^2 C}{2}$. La velocidad de una onda electromagnética en un medio con constante dieléctrica κ es: $v = \frac{c}{\sqrt{\kappa}}$. Por tanto, según la transformación de Lorentz, el acortamiento de la órbita será:

$$T' = \frac{T - \frac{2dc}{c^2\sqrt{\kappa}}}{\sqrt{1 - \frac{c^2}{c^2\kappa}}} = \frac{T - \frac{2d}{c\sqrt{\kappa}}}{\sqrt{1 - \kappa^{-1}}}, \quad (5.1)$$

en donde d es la longitud del dieléctrico.

Para que la ecuación (5.1) tenga signo positivo (el ciclo se alargue y genere energía) la longitud del dieléctrico debe ser mayor que cierto valor umbral:

$$\lim_{T'=T} \left(d = \frac{c\sqrt{\kappa} \left(T - T' \sqrt{\frac{\kappa-1}{\kappa}} \right)}{2} \right), \quad (5.2)$$

con lo que

$$d > \frac{cT\sqrt{\kappa} \left(1 - \sqrt{\frac{\kappa-1}{\kappa}} \right)}{2}, \quad (5.3)$$

ya que sino la precesión será negativa (corrimiento al rojo) y en lugar de haber generación de energía habrá consumo.

La frecuencia de precesión, en función del período de precesión, será:

$$T_{pre} = \frac{T^2}{T - T'} \frac{1}{2}; \quad (5.4)$$

$$\nu_{pre} = \frac{T - T'}{T^2} 2 = \frac{2}{T^2} \left(T - \frac{T - \frac{2d}{c\sqrt{\kappa}}}{\sqrt{1 - \kappa^{-1}}} \right). \quad (5.5)$$

Y la potencia generada por la precesión será:

$$P_{pre} = \frac{V^2 C}{2} \nu_{pre} = \frac{V^2 C}{2} \frac{2}{T^2} \left(T - \frac{T - \frac{2d}{c\sqrt{\kappa}}}{\sqrt{1 - \kappa^{-1}}} \right). \quad (5.6)$$

De donde se puede concluir que interesan frecuencias y tensiones elevadas.

Referencias

- [1] Albert Einstein, *Sobre la teoría de la relatividad especial y general*. Alianza Editorial, S.A., Madrid, 2002.
- [2] Carlos Sánchez (Coordinador) *Física cuántica*. Ediciones Pirámide (Grupo Anaya S.A.), Madrid 1997.
- [3] Eisberg, Resnik *Física cuántica*. Editorial LIMUSA S.A. México ©2009.
- [4] Gettys, E. e al. (2000) *Física clásica y moderna* Madrid, McGraw-Hill/INTERAMERICANA DE ESPAÑA S.A.U.
- [5] Florentino Muñoz Ania *There is not dark energy*
Vixra.org: 1308.0112 (2013)
- [6] Florentino Muñoz Ania *Gravitational forces are not conservative*
Vixra.org: 1303.0090 (2013)
- [7] Florentino Muñoz Ania *Time and orbits*
Vixra.org: 1306.0044 (2013)
- [8] Florentino Muñoz Ania *Cosmic gravity*
Vixra.org: 1405.0004 (2014)
- [9] Florentino Muñoz Ania *Reality elements*
Vixra.org: 1407.0107 (2014)
- [10] Logunov, *Curso de teoría de la relatividad y de la gravitación*. Editorial URSS Moscú ©1998.
- [11] Peter J. Mohr and Barry N. Taylor, CODATA *Recommended Values of Physical Constants: 2002*, published in Rev. Mod. Phys. vol. 77(1) 1-107(2005).
- [12] Sokolov, Ternov, Zhukovski, Borísov *Electrodinámica cuántica*. Editorial MIR Madrid ©1991.
- [13] Sven Ortoli, *El cántico de la cuántica*. Editorial Gedisa S.A. Barcelona ©1987.